

**دراسة عملية لتحسين انتقال الحرارة بالحمل القسري الطباقي من أنبوب اسطواني محسو بنوعين
من الحشوات المسامية أفقية ومائل بزايا مختلفة
تحت ثبوت الفيصل الحراري**

ثامر خلف سالم

مدرس مساعد

قسم الهندسة الميكانيكية - جامعة تكريت

الخلاصة

درس في هذا البحث تجريبياً الحمل القسري الطباقي لهواء يجري في قناة دائيرية المقطع موضوعة بزايا مختلفة ($0^\circ, 30^\circ, 45^\circ, 60^\circ$) ومسخنة بثبوت الفيصل الحراري، كما حشيت القناة بنوعين من المادة المسامية هما الكربيات الفولاذية (Steel Spheres) والكربيات الزجاجية (Glass Spheres) على التوالي، أجريت الاختبارات لثلاث قيم لعدد بكليت (2111.71, 3945.52, 4575.47) مع تغيير كمية الفيصل الحراري المسلط لكل حالة ولخمس مرات لكل عدد. بينت النتائج المستحصلة إن توزيع درجة الحرارة اللابعدي (θ) يقل بازدياد طول القناة اللابعدي ولجميع الحالات من تغير عدد بكليت وتغيير الفيصل وتغيير زوايا الميلان وتكون قيمته أقل بالنسبة للكريات الزجاجية عنه للكريات الفولاذية عند الفيصل الكبير ويكون بالعكس عند الفيصل القليل بالنسبة لزاوية الميلان $\varphi = 0^\circ$ ويكون النقصان في درجة الحرارة اللابعدية متقارب للحشوتين عند زوايا الميلان الأخرى.أوضحت الدراسة إن عدد نسلت (Nusselt number) الموقعي يقل بازديادة طول القناة اللابعدي في كلتا الحشوتين ولمختلف الفيصل الحراري المسلط، وتبين من الدراسة أيضاً أن معدل عدد نسلت يزداد بازدياد عدد بكليت (Peclet number) في كلتا الحشوتين تكون قيمته أكبر في كريات الزجاج منه في كريات الفولاذ وبنسبة (98.3%) عند عدد بكليت الكبير وبنسبة (97.2%) عند بكليت القليل وعندما يكون الأنابيب أفقية وبنسبة (98.3%) عند عدد بكليت القليل وبنسبة (97.8%) عند بكليت الكبير عند زاوية الميلان $\varphi = 60^\circ$. وظهر من الدراسة أن معدل عدد نسلت على طول القناة يزداد بازدياد الفيصل الحراري وذلك لأن درجة حرارة المائع الظاهرية سوف تزداد كلما تقدم الجريان إلى نهاية القناة وبذلك فان معامل انتقال الحرارة يزداد. تبين من الدراسة ان في حشوة الفولاذ يكون انتقال الحرارة بالتوسيط هو الغالب منه بالحمل في حين يكون في حشوة الزجاج انتقال الحرارة بالحمل القسري الطباقي والذي يكون اقل عدد نسلت سجل مقداره ($Nu=3.8$) عندما يكون الأنابيب أفقية واقل فيصل حراري واقل بكليت.

الكلمات الدالة: حمل قسري، قناة دائيرية أفقية ومائلة، هواء، كريات زجاجية، كريات فولاذية

الرموز المستخدمة	المعنى	الوحدة	المقدمة
A	المساحة السطحية للفناة	m^2	نظراً لأهمية الطاقة وترشيد استهلاكها لما له من مردود اقتصادي لبلدان العالم ولاسيما الدول التي تفتقر إلى مصادر الطاقة الطبيعية مثل النفط الخام فقد لجأت لإيجاد بدائل أو تحسين كفاءة أداء منظومات إنتاج أو استهلاك الطاقة ^[1] . ولما كان للوسط المسامي أهمية في عزل وخزن الطاقة وقابليته الهائلة على نقل وتبييض وامتصاص الحرارة بطرق انتقال الحرارة الثلاث (التوصيل والحمل والإشعاع). إذا إن انتقال الحرارة بالحمل خلال هذا الوسط يعتمد على مبدأ زيادة اضطراب الجريان الناتج عن وجود الوسط المسامي وإزنته لطبقة الماء اللزجة، فضلاً عن مساهمة المادة المسامية في نقل الحرارة بالتوصيل واعتماداً على مقدار موصليتها الحرارية. لذلك للأوساط المسامية العديد من التطبيقات الصناعية والتي تشمل تقنيات العزل الحراري في الأبنية. وكذلك الحبيبات الخازنة للطاقة (Grain Storage) واستغلال طاقات باطن الأرض الحرارية (Geothermal Activities) والهندسة النووية والكيميائية ومجمعات الطاقة الشمسية والمبادلات الحرارية من نوع المجدادات (Regenerators) التي تحتوي على حشوات مؤلفة من هذه الأوساط المسامية ^[2] . أجرى الباحثان Danald A. Arunn Narasimhan ^[3] Nield بحثاً نظرياً وتحليلياً درساً فيه منطقة كامل التشكيل الحراري لتحسين انتقال الحرارة بالحمل القسري الطبقي في مجراه مربع مملوء بوسط مسامي. أخذت لزوجة الماء العامل المتحكم في مسألة الجريان وانتقال الحرارة، حيث سلط على المجرى فيض حراري ثابت. تم تحليل التغير بالضغط عديداً بواسطة Global Hazen-Dupuit-(HDD) Model (Daracy). بينت نتائج البحث إن نسبة
C _p	السعه الحرارية النوعية	kJ/Kg.	
D	قطر الفناة	m	
d _p	قطر الكريات الفولاذية	m	
H	معامل انتقال الحرارة	$W/m^2.^{\circ}C$	
Ie	التيار	A	
K	الموصلية الحرارية	$W/m.^{\circ}C$	
k _s	الموصلية الحرارية	$W/m.^{\circ}C$	
L	طول الفناة	m	
M	التدفق الكتلي	Kg/s	
Nu	عدد نسلت		
P	الضغط	Pas	
Pe	عدد بكيليت		
Q	كمية الحرارة لوحدة	W/m^2	
T	درجة الحرارة	K	
U	مركبة السرعة الافقية	m/s	
V	الفولتية	Volt	
ρ	الثافة	Kg/m^3	
ϕ	المسامية		
θ	درجة الحرارة الابعدية		
v	اللزوجة الكينماتية	m^2/s	
Δ	انحدار		
μ	اللزوجة الديناميكية	$Kg/m.s$	
Φ	زاوية ميلان الأنابيب	Degree	
Av	الرموز التحتية		
B	معدل	-	
E	الظاهرية	-	
F	المؤثر	-	
I	الماء (الهواء)	-	
O	الدخول	-	
S	الخارج	-	
Z	السطح	-	
ζ	الموقعي	-	
%	نسبة الفقد الحراري	%	

مسامي مكون من كريات زجاجية ذات معدل قطر يساوي 4 mm ومسخنة من الخارج تحت ظرف ثبوت الفيصل الحراري ومستخدما الماء كمائع مشبع. بينت الدراسة النظرية تأثير ظاهرة التخدد (channeling) على مجال السرعة ودرجة الحرارة وهذا أدى إلى زيادة واضحة في معدل انتقال الحرارة في منطقة تمام التشكيل الحراري وكذلك بينت الدراسة أيضاً أن التشتيت في عدد نسلت بين النتائج العملية والنظرية لأعداد بكليت القليلة يساوي (10%) بينما تشد القيم عند أعداد بكليت العالية فكانت نسبة التشتيت تساوي (40%). قدم الباحثان Joo-S.Yoo و William W.Schults^[7]. دراسة نظرية وتحليلية لتأثير عدد رالي (Ra) القليل في الوسط المسامي ذو السائل المشبع بين جدارين أفقين مع عدم انتظام توزيع درجات الحرارة على الجدارين الموزع توزيع جيبي نسبتاً لعدد الموجة (K) واختلاف الطور (β) حيث لا يوجد اختلاف في متوسط درجات الحرارة بين أعلى وأوسع نقطة للجداران ولا توجد حالة الاستقرار بدون جريان السائل . وأظهر الباحثان تأثير هذه العوامل على الجريان و انتقال الحرارة حيث يحصل أعلى انتقال عندما $K = 2.286$ و $\beta = 0$. كانت نتائج البحث أن تغير الطور $\pi \leq \beta \leq 0$ مع ثبوت $K = 3.1$ وتأثير تغير K مع ثبوت β لهما تأثير كبير على الجريان وتشكيل الدوامات داخل الوسط المسامي. توصل الباحثان أن عدد نسلت (Nu) يزداد زيادة وتيرية عند زيادة عدد الموجة ويأخذ أعلى قيمة عندما $K = 2.505$ ويزداد أيضاً عند زيادة اختلاف الطور (β) وكذلك يعتمد معدل انتقال درجات الحرارة عند الجدران على اختلاف الطور (β) حيث يزداد بزيادة (K) ويقل عند اختلاف الطور (β = 0, π).

الانحدار بالضغط نسبة إلى طول القناة ($\Delta p/L$) تزداد بزيادة سرعة الجريان عند الفيصل الحراري الثابت، وإن لزوجة المائع تعتمد على الفيصل الحراري أيضاً. توصل الباحثان إلى أن السرعة الموقعة (Velocity Local) تزداد بزيادة الفيصل الحراري وتزداد من السطح إلى مركز القناة. وتوصلاً إلى أن لزوجة المائع تقل مع زيادة درجة الحرارة وإن عدد نسلت (Nusselt number) يزداد بزيادة السرعة للمائع وكذلك عدد نسلت الموقعي يزداد بزيادة السرعة عندما تكون الزوجة ثابتة. قدم الباحثان Deha. Er^[4] دراسة عدبية لعملية انتقال الحرارة بالحمل القسري الغير مستقر وبيعدين خلال فجوة مربعة شاقولييه محاطة بجدار معزول حرارياً وافتراض في هذا النموذج عدم التوازن الحراري الموقعي للمائع والمادة المسامية (Non Local Thermal Equilibrium) وعلى أساس هذه الفرضية وجد الباحثان تطوراً لتصريف الجريان ومعدل انتقال الحرارة. إن معرفة هذا التصرف مهم جداً لتصميم أنظمة الخزن الحراري والتطبيقات العملية في الأوساط المسامية. ان ظاهرة الحمل المختلط والحمل القسري قد درست عملياً ونظرياً من قبل الباحث Chau وآخرون^[5] خلال قناة دائرة المقطع وللنماذج الالادرسية وتحت ظرف ثبوت الفيصل الحراري ولم منطقة تمام التشكيل الحراري أخذت القراءات التجريبية لإعداد بكليت تراوحت بين (10 إلى 100) استخدم الماء والهواء كمائع مشبع خلال القناة وعند مقارنة النتائج النظرية مع التجريبية وجد إن نسبة التشتيت تساوي 20% عند أعداد بكليت M.A.Althaher وأجرى الباحثان A.H.Jassim^[6] دراسة نظرية وعملية للحمل القسري الباقي خلال قناة أفقية ومملوءة بوسط

$Nu_z = 0.182 Re^{0.53} Pr^{1/3}$ وكذلك تأثير زاوية الميلان على عدد نسلت الموقعي $C_\theta = Nu_z / Nu_z(\theta=90^\circ)$ التي تم استعمالها لإيجاد معامل انتقال الحرارة ووضع في زاوية مختلفة من $0^\circ - 90^\circ$ نسبة إلى اتجاه التدفق وأوجد عدم تأثير C_θ على Re . أما الباحثان J.R.Maughan و F.P.Incpora عملياً [10] درساً امكانية تحقيق الحمل المختلط بين صفيحتين متوازيتين ومسخنة تسخين غير منتظم من الأسفل. وتم دراسة تأثير اتجاه التدفق الحراري لسطح الفناة على عدد نسلت الموقعي عندما $Pr = 0.7$

$500 < Re < 125$ و $30^\circ < \phi < 0^\circ$. توصلوا إلى أن تأثير الحرارة غير المستقرة والجريان الكامل يسبب زيادة حادة في عدد نسلت لكنها تكون متذبذبة وفي النهاية تقل في منطقة كامل النمو معتمداً على عدد كراشوف (Gr) حيث يتاخر عدم الاستقرار بسبب نقصان عدد كراشوف وزيادة عدد رينولدز (Re). ويكون تأثير تغير زاوية الميلان من $0^\circ - 30^\circ$ كبيراً على انتقال الحرارة وكذلك زيادة عدد نسلت.

الجانب التجاري

قلة البحوث العملية المنشورة في هذا المجال عهدنا إلى القيام بدراسة تجريبية للحمل القسري الطباقي بنوعين من الحشوات المسامية وبتغيير زاوية ميلان الأنابيب $(60^\circ, 45^\circ, 30^\circ, 0^\circ)$.

الأجهزة والأدوات المستخدمة

استخدمت قناة دائيرية المقطع (أنابيب من النحاس) بقطر داخلي وخارجي (45mm) و (47mm) على التوالي وبطول (850mm). ان طول مقطع

أجرى الباحثان Hong Cheng و [8] حلاً عددياً للمعادلات الحاكمة للجريان في أنابيب مائل مسخن بشروط الفيصل الحراري ولجريان طباقي مساعد في منطقة تمام التشكيل الحراري والهيدروليكي وبافتراض ثبوت درجة الحرارة المحيطيه لمقطع الأنابيب ولمدى قيم عدد رالي لا يتجاوز (3000). حلت المعادلات الحاكمة للجريان بالإحداثيات القطبية باستخدام طريقة الفروقات المحددة وبمزج من طريقي الدوامة المتاخمة و التكرار المترافق الخطى (Line Iterative Relaxation Method). بینت النتائج تغير منحني شكل السرعة لقيم مختلفة لأعداد برانتل ورالي ورينولدز وزوايا ميل مختلفة، وأظهرت عند زاوية ميل (45°) التأثير الهام للتغير قيم عدد برانتل إذ تقترب القيمة العظمى للسرعة المحورية بإتجاه محور الأنابيب بزيادة قيم هذا العدد، أما تأثير تغير زوايا ميلان الأنابيب على شكل منحني السرعة لقيمة عدد برانتل (0.75) فيظهر أن القيمة العظمى للسرعة المحورية تتبع عن محور الأنابيب بزيادة ميلان الأنابيب من الوضع الشاقولي إلى الوضع الأفقي، وتعود لتقترب من محور الأنابيب بزيادة قيم عدد رينولدز.

قام الباحثان Mao-Ya Kuen-Jang و Wen [9] بدراسة عملية لانتقال الحرارة بالحمل القسري في أنابيب مستدير مائل ومنحرف نسبة إلى التدفق المسبق للجريان. حيث أخذ مدى واسع من زاوية الميلان والانحراف وتغير عدد رينولدز من 1000 - 70000. ووجد أن تأثير التدفق ثلاثي الأبعاد على معامل انتقال الحرارة كانت معودمة إلى كل من زاوية الميلان والانحراف. أستبط معادلات تجريبية لإيجاد عدد نسلت الموقعي

الساكنة (Petot static tube) لمعاييرة الصفيحة. وقياس فرق الضغط المتولد عبر الصفيحة المتقوبة كثافته مائعاً باستخدام $\rho_{rl} = 826 \text{ Kg/m}^3$ (استعمل كسائل للقياس). وتظهر الأجهزة والأدوات المستخدمة في البحث بالصورة الفوتوغرافية (A-1) والشكل التخطيطي (B-1).

الحشوات المسامية

تم استخدام نوعين من الحشوات المسامية وهي الكريات الفولاذية بقطر (5mm) ذات الموصلية الحرارية ($43 \text{ W/m.}^\circ\text{C}$) والخشوة الثانية عبارة عن كريات زجاجية بقطر (5mm) ذات الموصلية الحرارية ($0.78 \text{ W/m.}^\circ\text{C}$) حيث هذه الكريات داخل القناة بحصارها بين قرصين نفاذين مصنوعة من الحديد المغلون.

طريقة إجراء الحسابات

قبل البدء بالتجارب تمت معايرة المزدوج الحراري نوع (T) مع المحرار الزئبقي حيث تم وضع الاثنان معاً في ماء بارد وبعدها سخن الماء باستخدام مسخن كهربائي (Heater) وتسجل قراءة المزدوج والتي تقابلها قراءة المحرار الزئبقي وترسم العلاقة بينهما كما في الشكل رقم (2)، وكانت درجة حرارة الهواء الداخل إلى مقطع الاختبار ضمن مدى ($32-28^\circ\text{C}$) وطريقة الاختبار يمكن توضيحها بالشكل الآتي:

- 1- تشغيل دافعة الهواء لتزويد مقطع الاختبار بالهواء ومن الممكن التحكم بكمية الهواء بواسطة صمام كروي موضوع قبل مقطع الاختبار موضح بالصورة الفوتوغرافية (A-1).
- 2- يزود مقطع الاختبار بكمية الحرارة وتتنظم بواسطة محولة متغيرة.

الاختبار المسخن فعلياً هو (800mm) فقط. تجهز القناة بالهواء بواسطة دافعة هواء (منفاخ) (Blower) ذو سرعة دورانية مقدارها (2500rpm) ويعمل بفولتية متباينة مقدارها (220v) وتم تثبيت هذه الفولتية بواسطة مثبت الفولتية (Stabilizer)، قيست درجة حرارة سطح القناة باستخدام (48) مزدوج حراري نوع (T) مثبتة على طول القناة لمقطع الاختبار ويكون لكل موقع (3) مزدوجات حرارية حيث أخذ معدل القراءة والذي يمثل موقع واحد من (16) مزدوج ومزدوج واحد لقياس درجة حرارة دخول القناة التي تم تثبيتها في داخل مجرى الهواء ومزدوج لقياس درجة حرارة خروج الهواء بعد الحشوة المسامية وتم تثبيته بنفس الطريقة السابقة ومزدوج حراري لقياس درجة حرارة هواء المختبر الخارجي. سخن مقطع الاختبار كهربائياً بلغه مقاومة كهربائية حول القناة بطول (28m) وبمقاومة مقدارها ($1\Omega/m$) ولزيادة القدرة المجهزة لمقطع الاختبار فقد عزل حرارياً بلغه بطقة من الصوف الزجاجي بسمك (100mm) أما طرفي القناة فقد عزلت كهربائياً وحرارياً باستخدام قطعتين من التفلون مصنوع من مادة اللبانية العازل والمقاوم لدرجة الحرارة وكذلك لتقليل المفاسيد (الفقد او الخسارة) الحرارية بالاتجاه المحوري. حشى مقطع الدخول بالمادة المسامية بطول (150mm) لغرض التأكد من الحصول على تمام التشكيل الهيدروليكي قبل مقطع الاختبار. جهز المسخن بقدرة كهربائية متباينة بواسطة محولة تسلم فرق جهد ثابت من جهاز منظم الفولتية مقداره (220v)، ولقياس التيار المار خلال المسخن فقد استخدم جهاز اميتر وبدقه (10^{-4}A). استخدم الصفيحة المتقوبة (Orifice flow) لقياس تدفق الهواء خلال مقطع الاختبار واستخدمت أنبوبة بيتوت

وتحسب خواص المائع الجاري خلال مقطع الاختبار (الهواء) وتكون متغيرة اعتماداً على درجة حرارة المائع الظاهرية وتحسب من المعادلات التجريبية^[13]:

$$\rho_f = 4.93 - 0.026Tb + 6.4 \times 10^{-5} Tb^2 - 7.5 \times 10^{-8} Tb^3 + 3.36 \times 10^{-11} Tb^4 \quad \dots \dots \dots (6)$$

$$\mu_f = 1.3 \times 10^{-6} + 5 \times 10^{-8} Tb + 1.02 \times 10^{-10} Tb^2 - 3.3 \times 10^{-13} Tb^3 + 12.6 \times 10^{-16} Tb^4 \quad \dots \dots \dots (7)$$

$$K_f = 1.43 \times 10^{-16} + 9.3 \times 10^{-5} Tb + 3.4 \times 10^{-9} Tb^2 - 9.8 \times 10^{-11} Tb^3 + 8.4 \times 10^{-14} Tb^4 \quad \dots \dots \dots (8)$$

$$Pr_f = 0.79 - 1.1 \times 10^{-4} Tb - 1.35 \times 10^{-6} Tb^2 + 3.37 \times 10^{-9} Tb^3 + 2.2 \times 10^{-12} Tb^4 \quad \dots \dots \dots (9)$$

$$C_{pf} = 1.09 - 0.001Tb + 3.78 \times 10^{-6} Tb^2 - 6.27 \times 10^{-9} Tb^3 + 4.14 \times 10^{-12} Tb^4 \quad \dots \dots \dots (10)$$

في حين من الممكن ان تحسب كمية الحرارة المكتسبة من الهواء (Q) ووحداتها (watt) كالتالي:

$$Q = m C_{pf} (T_o - T_i) \quad (11)$$

أما كمية الحرارة المتولدة عبر المسخن (Pwr_{in}) ووحدتها (watt) فإنها تساوي:

$$Pwr_{in} = Ie * V \quad \dots \dots \dots (12)$$

أن النسبة المئوية لكمية الحرارة المفقودة يمكن حسابها من المعادلة الآتية:

$$\varsigma = \left(1 - \frac{Q}{Pwr_{in}} \right) \times 100 \quad \dots \dots \dots (13)$$

كما حسب عدد نسلت الموقعي من المعادلة الآتية:

3 يترك الجهاز لمدة (40-45) دقيقة للوصول إلى حالة الاستقرار والذي تم اعتماده من قبل الباحث^[6] حيث تؤخذ القراءات لدرجات حرارة سطح القناة والهواء الداخل والخارج ودرجة حرارة المحيط وكمية الحرارة المجهزة للمسخن. أما قطر حبيبات الحشو المسامية للفولاذ والزجاج فقد تم قياسها ووجد إنها تساوي (5mm) ومسامية هذه الحشو حسب عمليا وهي تساوي (0.3661) حيث اعتبر ان الحشوة تترب بشكل عشوائي ضمن الأنابيب وعند مقارنة هذه القيمة بالقيمة المستحصل عليها من المعادلة الآتية^[6]:

$$\phi = 0.32 + \left(0.45 * \left(\frac{d_p}{D} \right) \right) \quad \dots \dots \dots (1)$$

والتي تساوي 0.37 وعند المقارنة لا يوجد فرق كبير بين القيمتين فقد اعتمد في الحسابات على القيمة المستحصل عليها عمليا وهناك العديد من المتغيرات من الممكن حساب بعضها موقعياً مثل معامل انتقال الحرارة وعدد نسلت والأخر وسطي مثل عدد بكليت ويمكن حساب معامل انتقال الحرارة الموقعي بواسطة المعادلة الآتية^[12]:

$$h_z = \frac{q}{(T_s - T_b)_z} \quad \dots \dots \dots (2)$$

الفيض الحراري لوحدة المساحة يحسب q حيث أن من المعادلة الآتية:

$$q = \frac{Q}{A_s} \quad \dots \dots \dots (3)$$

$$A_s = \pi \cdot D \cdot L \quad \dots \dots \dots (4)$$

المعادلة التالية: و درجة الحرارة الظاهرية فتحسب من

$$T_b = \left(\frac{T_i + T_o}{2} \right) + 273.15 \quad \dots \dots \dots (5)$$

(186.4 Pa) بالنسبة لكل مادة من الحشوة المسامية وثبت فرق الضغط في كل اختبار مع تغير كمية الحرارة المجهزة اعتماداً على تغيير مقدار الفولتيّة المجهزة لتسخين مقطع الاختبار لخمس مرات وتعد نفس التجربة لكل الحالات الأفقيّة والمائلة بالزاوية $(30^\circ, 45^\circ, 60^\circ)$. وتم رسم تغيير درجة حرارة السطح الابعدية مع طول القناة الابعدية لكل اختبار وعدد نسلت الموقعي مع طول القناة الابعدية ومعدل عدد نسلت مع طول القناة الابعدية وكل عدد بكليت وكل حشوه مسامية ورسمت أيضاً علاقة تغير الفيصل الحراري مع معدل عدد نسلت على طول القناة. الذي سيتم توضيحها في النتائج والمناقشة.

النتائج والمناقشة

شمل البحث استقصاء تجريبي لانتقال الحرارة بالحمل القسري الطبقي من أنبوب مملوء بنوعين من الحشواف المسامية ومشبع بالهواء أفقيّة ومائل بزوايا $(30^\circ, 45^\circ, 60^\circ)$ ، وان وصف الجهاز وطريقة إجراء التجارب وضحت في الجزء العملي. شملت التجارب بكليت أعداد (2111.71، 3945.52، 4575.47) وفيض حراري متغير على سطح الأنابيب. ان درجة الحرارة التي تم أخذها في الحسابات هي المعدل الحسابي لثلاث قراءات للمزدوجات الحرارية على سطح الأنابيب. الشكل (3) يوضح توزيع درجة الحرارة الابعدية مع طول القناة الابعدية بالنسبة للخشوتين الزجاجية والفولاذية وبتغير الفيصل الحراري عند الزاوية $(\phi = 0^\circ)$ وبين الشكل (A) عند أقل فيض حراري ($q=255.43 \text{ w/m}^2$) ويلاحظ من الشكل ان درجة الحرارة الابعدية تقل كلما زاد طول القناة

$$Nu_z = \frac{h_z D}{k_e} \quad \dots\dots\dots (14)$$

حيث ان k_e معامل التوصيل الحراري المؤثر للوسط المسامي والذي يمكن حسابه من المعادلة الآتية [12]:

$$k_e = \phi k_f + (1-\phi) k_s \quad \dots\dots\dots (15)$$

إذ k_f و k_s الموصلية الحرارية للماء والخشوة المسامية على التوالي وتم حساب الموصلية الحرارية للماء من معادلة رقم (8). وأما عدد رينولدز (Re) فقد حسب من المعادلة الآتية:

$$Re = \frac{udp}{v_f(1-\phi)} \quad \dots\dots\dots (16)$$

حيث أن

$$u = \sqrt{\frac{2\Delta p}{\rho_f}} \quad \dots\dots\dots (17)$$

وتم حساب فرق الضغط عبر منطقة التصر (Orifice) من المعادلة التالية:-

$$\Delta p = \rho_{rl} g \Delta H \quad \dots\dots\dots (18)$$

$$v_f = \frac{\mu_f}{\rho_f} \quad \dots\dots\dots (19)$$

أما عدد بكليت (Pe) فحسب من المعادلة التالية

$$Pe = Re Pr_f \quad \dots\dots\dots (20)$$

و حسب عدد برانتل (Pr_f) اعتماداً على تغير درجة حرارة الماء الظاهرية من معادلة رقم (9)، كما حسب معدل عدد نسلت من المعادلة الآتية:

$$Nu_{av} = \frac{Z}{L-Z} \int_0^L Nu_z dz \quad \dots\dots\dots (21)$$

وتم حساب درجة الحرارة الابعدية من العلاقة التالية:

$$\theta = \frac{(T_z - T_s)}{(T_i - T_s)} \quad \dots\dots\dots (22)$$

أجريت ثلاثة اختبارات بفرق ضغط (Δp) مقداره (40.8 Pa) و (137.7 Pa) و

وأن أقل قيمة لعدد نسلت كانت ($Nu=0.058$) عند ($q=255.43 \text{ w/m}^2$), والشكل التالي (B) يلاحظ أن توزيع عدد نسلت لا يختلف عن السابق سوى أن عدد نسلت ازداد في هذه الحالة وان عدد نسلت كان متقارب في كل حالات الفيض الحراري جميعها. أما الشكل (C) والذي يكون عند ($Pe=4575.47$) أن المنحني لا يختلف كثيراً عن سابقه سوى ان عدد نسلت سيكون مستقراً الى الثالث الأخير من القناة والذي يبدأ بالزيادة ويلاحظ انه عند الفيض الحراري ($q=255.43 \text{ w/m}^2$) انه يكون مختلف عن باقي كثيارات الفيض الحراري حيث تكون قيم عدد (Nu) اكبر من باقي (Nu) عند الفيض الحراري الباقى. الملاحظ من المنحنيات (C,B,A) ان عدد نسلت (Nu) الموقعي يزداد عندما يكون الفيض الحراري قليل ويزداد أيضاً عندما يزداد عدد بكليت (Pe) وهذا يدل انه كلما كانت سرعة المائع كبيرة أى زيادة عدد رينولدز وهذا بسبب زيادة درجة حرارة الهواء الظاهرية والذي بدوره يزيد من معامل انتقال الحرارة بالحمل.الشكل (6) يبين توزيع عدد نسلت الموقعي مع طول القناة الابعدي بالنسبة للكريات الزجاجية والاسكال (C,B,A) تبين هذا التوزيع عند اعداد بكليت (4575.47 ، 3945.52 ، 2111.71) وبتغير الفيض الحراري ويلاحظ من هذه المنحنيات ان عدد نسلت يكون مستقراً في بداية ومنتصف القناة ويزداد عند زيادة طول القناة الابعدي ويلاحظ انه يزداد بزيادة الفيض الحراري ويستقر تقريراً الفيض الحراري ($q=558.4 \text{ w/m}^2$) وتكون اعلى قيمة لعدد نسلت عند ($Pe=4575.47$) وعند الفيض الحراري ($Nu=12$).
 الشكل (7) (A,B) يبين توزيع عدد نسلت الموقعي مع طول القناة الابعدي للكريات الفولاذية و

اللابعدي وذلك لأن درجة حرارة الهواء تزداد مع زيادة طول القناة والسبب في ذلك ان الهواء يكتسب الحرارة من الحشوة المسامية والتي بدورها تكتسب الحرارة من السطح الداخلي للأنبوب وان درجة الحرارة الابعدية تكون أكبر كلما كان عدد بكليت (Pe) اقل ونقل كلما زاد هذا العدد. والاسكال (E,D,C,B) تبين نفس التصرف السابق باشتاء الأشكال (E,D,C) التي تكون (θ) للكريات الفولاذية عند ($Pe=4575.47$ ، 3945.52). وهذا بسبب زيادة الفيض الحراري الذي بدوره يزيد من درجة حرارة المائع الجاري.والشكل (4) يبين توزيع درجة الحرارة الابعدية مع طول القناة الابعدي وبتغير الفيض الحراري وذلك عند الزاوية ($\phi = 60^\circ$) ويلاحظ أيضاً أن درجة الحرارة الابعدية تقل مع طول القناة الابعدي وتكون متقاربة بالنسبة للكريات الزجاجية والفولاذية وفي كل حالات الفيض الحراري وكما في الإشكال (E,D,C,B,A) إلا أنه عند الفيض الحراري القليل تكون قيمة (θ) أكبر للفولاذ منه للزجاج وعند اعداد بكليت القليلة وللفيض الحراري الثاني أيضاً يكون نفس التصرف أيضاً عندما يزداد الفيض الحراري ويصل تقريراً إلى (1000 w/m^2) فأن تصرف (θ) يكون تقريراً متساوي للكريات الفولاذية والكريات الزجاجية وكذلك للفيض الحراري (1494.94 w/m^2) أما الشكل الآخر فان (θ) للكريات الزجاجية تكون اكبر منها للكريات الفولاذية وهذا عند الفيض الحراري الأعلى.الشكل (5) يوضح توزيع عدد نسلت الموقعي مع طول القناة الابعدي بالنسبة للكريات الفولاذية ففي الشكل (A) عند ($Pe=2111.71$) وبتغير الفيض الحراري وكل الحالات يلاحظ أن عدد نسلت يقل في بداية القناة ويستقر تقريراً في منتصف القناة ومن ثم يبدأ بالصعود

سجلت كانت $Nu_z = 0.26$ للكريات الفولاذية عند عدد بكليت الكبير و $Nu_z = 11.5$ للكريات الزجاجية عند عدد بكليت نفسه. الأشكال (14,13,12,11,8) تبين العلاقة بين عدد نسلت الموقعي مع طول القناة اللاعبدية و عند الزاوية $(\varphi = 30^\circ)$ ولجميع قيم الفيصل الحراري من الأصغر إلى الأكبر على التوالي و بتغيير عدد بكليت (Pe) وللحوشتين الفولاذية والزجاجية ويلاحظ من الأشكال بأن عدد نسلت يبدأ بالنقصان في بداية القناة ومن ثم يبدأ بالصعود حتى نهاية القناة. بتغيير معدل عدد نسلت على طول القناة مع كمية الفيصل الحراري و بتغيير عدد بكليت للحالات الثلاث و بتغيير زاوية $(\varphi = 60^\circ)$ ميلان الأنبوب من الأفقي إلى الزاوية موضحة بالأشكال (18,17,16,15) وللحوشتين ، يلاحظ من الشكل (B) عندما يكون الأنبوب بوضع أفقي حيث معدل عدد نسلت للكريات الفولاذية يكون ثابت إلى حد كبير وتكون أقل قيمة له عند $Pe=2111.71$ وذلك لأن السرعة تكون قليلة وبذلك فإن درجة حرارة الهواء الجاري تكون قريبة بعضها عن بعض وبذلك فإن معامل انتقال الحرارة يكون متساوي تقريبا وأنه يقل بشكل طفيف عند زيادة الفيصل وذلك لأن درجة الحرارة تزداد أيضا وبشكل قليل. أما الشكل (B) يبين تغير معدل عدد نسلت مع كمية الفيصل للكريات الزجاجية ويلاحظ أنه كلما زاد الفيصل كلما زاد معدل عدد نسلت وذلك يعتمد بشكل أساسي على معامل انتقال الحرارة بالحمل والذي يعتمد بدوره على كمية الفيصل الحراري الذي يزيد و تكون زيادة عدد نسلت في الفيصل الحراري قليلة وتزداد بشكل كبير عند زيادة الفيصل ان أقل قيمة سجلت لمعدل عدد نسلت كانت $(Nu_z=4.5)$ والشكل التالي الذي يبين نفس العلاقة السابقة ولكن عند الزاوية

الكريات الزجاجية عند $(\varphi = 0^\circ)$ عند الفيصل الحراري (1494.94 w/m^2) ولا عدد بكليت الثلاث ويلاحظ من الشكل (A) ان عدد نسلت الموقعي يكون ثابت الى حد معين عند أعداد بكليت القليلة و عند زيادة عدد بكليت يلاحظ ان عدد نسلت يقل بشكل حد ومن ثم يزيد في نهاية القناة ، أما الشكل (B) والذي يبين العلاقة نفسها للكريات الزجاجية ان عدد نسلت يقل بشكل قليل ومن ثم يستقر في نهاية القناة يزداد بشكل كبير ويلاحظ ان اقل قيمة لعدد نسلت للكريات الفولاذية كانت $(Nu=0.09)$ أما للكريات الزجاجية $(B,A) (Nu=5.8)$ عند عدد بكليت القليل.الشكل (8) يلاحظ نفس العلاقة السابقة و عند فيصل حراري ثابت و عدد بكليت متغير عندما تكون الزاوية $(\varphi = 30^\circ)$ يلاحظ من الشكلين ان عدد نسلت الموقعي يزداد عنه عند الزاوية $(\varphi = 0^\circ)$ ويحافظ تقريبا على نفس التصرف في كلا الحالتين انه اعلى قيمة كانت لعدد نسلت في الكريات الفولاذية كانت $(Nu=2.5)$ عند عدد بكليت الكبير وكذلك اعلى قيمة لعدد نسلت في للكريات الزجاجية كانت (12.3) عند نفس عدد بكليت. أما الشكل (9) فيبين العلاقة نفسها ولنفس الحشوالت عند الزاوية $(\varphi = 45^\circ)$ ويلاحظ ان عدد نسلت يقل بالنسبة للكريات الفولاذية عند عدد بكليت القليل عنه عند الزاوية $(\varphi = 45^\circ)$ ويكون متقارب عند اعداد بكليت الباقي وكذلك بالنسبة للكريات الزجاجية يلاحظ انه يقل ايضا ولكن بشكل طفيف.الشكل (10) يلاحظ العلاقة السابقة يبين عدد نسلت الموقعي مع طول القناة اللاعبدي و عند فيصل حراري ثابت و بتغيير عدد بكليت و عند الزاوية $(\varphi = 60^\circ)$ ، يلاحظ من الشكلين (B,A) ان عدد نسلت يقل بشكل طفيف في بداية القناة ومن ثم يبدأ بالصعود و ان أعلى قيمة لعدد نسلت

الحرارة بالحمل منه الفولاذ وذلك لأن عدد نسلت لم يقل عن ($Nu_z=5.5$) للزجاج.

2- ان معدل عدد نسلت يقل بالنسبة للحشوة الفولاذية عند زيادة ميلان القناة وبنسبة كانت (21.8%) من الزاوية(30° الى 60°) وباستثناء الزاوية (0°)ويزداد للحشوة الزجاجية عند نفس الحالة وبنسبة(2.4%) عند عدد بكليت (3945.52).

3- ان درجة حرارة القناة الابعدية تقل بزيادة طول القناة الابعدى ولكلما الحشوتين وتكون متساوية عند زاوية الميلان إلا ان هذه القيمة تكون غير متساوية عندما يكون الأنابيب أفقى وتكون نسبة الزيادة هي (4.3%) عندما يكون الفيصل أكبر من (550 w/m^2) وعند عدد بكليت القليل.

4- كلما زادت زاوية الميلان وللإعداد بكليت تتراوح بين (2111.72 و 4575.47) فإن نسبة الزيادة في عدد نسلت الموقعي والمعدل يزداد للحشوة الزجاجية بنسبة (%6.25) ويقل للحشوة الفولاذية بنسبة (%28.57) وذلك عند اقل فصل الحراري ($q=255.434 \text{ w/m}^2$).

التوصيات

بعد اجراء البحث يوصى باجراء دراسة عملية ونظرية

لنفس النماذج مع تغيير الاتي

- 1- الاتجاه حيث يكون اتجاه الجريان عمودي .
- 2- طور الجريان(جريان مختلط) كأن يكون الهواء مع بخار الماء.
- 3- مقطع الجريان للقناة كان يكون المقطع مثلاً ولنفس الحالات.
- 4- المجرى وذلك باستخدام أنابيب داخل أنابيب ومحشو بين الأنابيبين (Annuls).
- 5-أقطار ومادة الحشوة المسامية.

($\varphi = 30^\circ$) يلاحظ انه لا يختلف بشكل كبير عن السابق سوى ان معدل عدد نسلت يقل بالنسبة للكريات الفولاذية ويزداد بالنسبة للكريات الزجاجية وان اقل قيمة سجلت لمعدل عدد نسلت للزجاج كانت ($Nu_z=5.8$), ان معدل عدد نسلت يزداد بشكل كبير بالنسبة للكريات الفولاذية وهذا موضح في الشكل (15) (A) والذي يكون عند الزاوية ($\varphi = 45^\circ$) ولكنه بشكل عام يقل عنه عند الزاوية ($\varphi = 30^\circ$) أما الشكل (B) يبين زيادة معدل عدد نسلت مع زيادة الفيصل الحراري وخاصة عند اعداد بكليت العالية وهذا يدل على ان جريان المائع كان بسرعة عالية نسبياً وان اقل قيمة كانت له هي ($Nu_z=6.2$). ان معدل عدد نسلت يزداد بشكل كبير مع كمية الفيصل الحراري وعند اعداد بكليت الثلاث عند الزاوية ($\varphi = 60^\circ$) وهذا مبين بالشكل (A) وأن قيمة بشكل عام تقل عند زيادة ميلان القناة بالنسبة للحشوة الفولاذية وانه يزداد بشكل كبير عند اعداد بكليت العالية ويقل نسبياً عند عدد بكليت القليل ولكنه بشكل عام يزيد كلما زاد ميلان القناة وهذا بالنسبة للحشوة الزجاجية كانت اقل قيمة له عند $Pe=2111.71$ هي ($Nu_z=6.5$).

الاستنتاجات

1- ان عدد نسلت الموقعي يزيد للحشوة الزجاجية ويقل بشكل كبير جداً للحشوة الفولاذية وتكون قيمته للفولاذ اقل من ($Nu_z=1$) وهذا يدل على موصلية الكريات الفولاذية العالية تجعل انتقال الحرارة في هذه الحالة قريبة من الحالة التوصيلية أي انتقال الحرارة اعتماداً على موصلية المادة. وهذا بدوره يبين إلى أن الحشوة الزجاجية كانت أفضل في تحسين انتقال

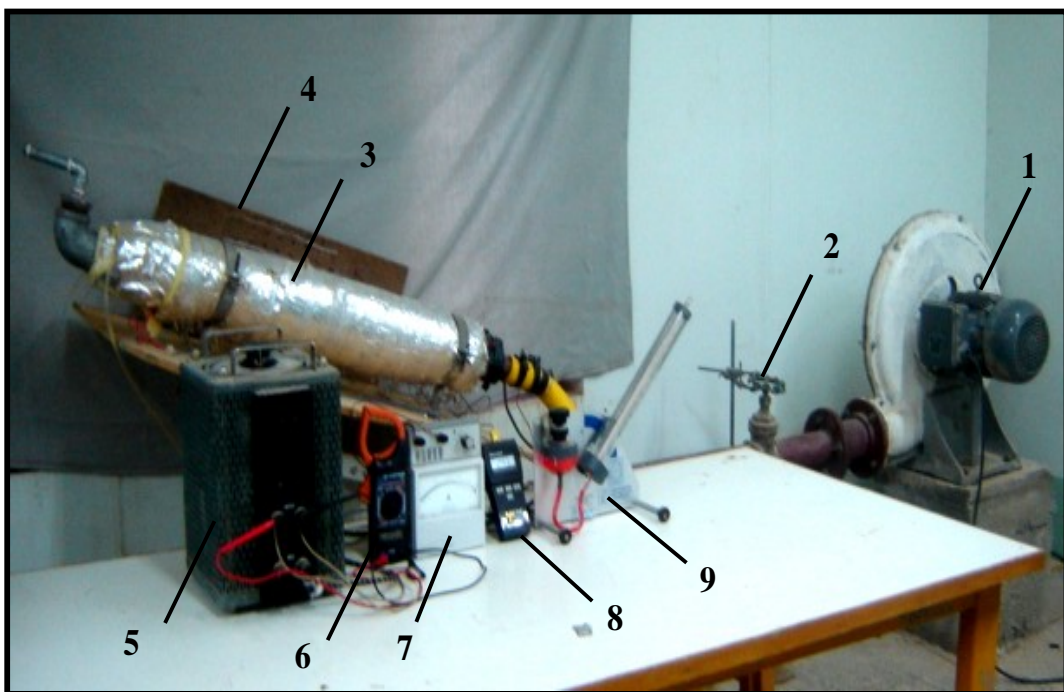
- المصادر
- Convection in cylindrical Packed Tube" ASME J.H.T. vol.116, pp. 513- 516.,1994.
- 6- Al-Daher,M and Jasim,A.H, " A Theoretical and Experimental Study on Laminar Forced Convection Heat Transfer Through a Horizontal Tube Filled With Porous Media", Scientific Jorur. Tikrit,2002.
- 7- Joo-sik Yoo and William W.S, "Thermal convection in a horizontal porous layer with spatially periodic boundary temperature: small Ra flow",international Journal of heat and masstransfer.,vol46,pp.4747-750,2003.
- 8- Maki Hag Zedan Khalaf, "Theoretical and Experimental Study of Heat Transfer for a Flow Through an Inclined Tube"BhD. Thesis., University of Technology,2004.
- 9- Mao-Yuwen and Kuen-J.J., " Forced convection heat transfer at an inclind and yawed round tube",international journal of heat and mass transfer , , vol.45,Issue10,PP. 2031-2042,2002.
- 10- Maushan J.R. and F.P. Incropera, " Experimental on mixed convection
- 1- Atalah H.J., " A theoretical and experimental a study on laminar forced convection heat transfer through a horizontal tube with saturated porous media" Msc Thesis., University of tikrit,2000.
- 2- Badr, H.M. and Pop I., "Combined Convection From An Isothermal Horizontal Rod Buried In a Porous Medium" , Int. J. Heat Mass Transfer, Vol. 31, No. 12, , pp. 2527- 2541,1988.
- 3- Arunn Narasimhan and Donald A . Nield, " New Theory for Forced Convection Through Porous Media by Fluids With Temperature-Dependent Viscosity",Journal of Heat Transfer,Vol.23pp.1045-1051,2001 December.e-mail:jill@seas.smu.edu.
- 4- Deha Er. and A. Cihat Baytas, "Transient Forced Convection Flow Through A Packed Bed for Heat Storage", Marine Eng. Dept., Istanbul Tech.Univ. Istanbul, Turkey,2000.
- 5- Chou,F.C. et al,"A Re-evaluation of Non-Darcian Forced and Mixed

heat transfer for air flow in a horizontal and inclined channel”, international journal of heat and mass transfer, vol.30, Issue 7, PP.1307-1318, 2003.

11- Al-Sammarai A. T. A., “An Experimental Study on Forced Convection Heat Transfer from A Heated Cylinder in a Free and Embedded Horizontal Cylinders Array in a Porous Medium in Cross Flow”, M.Sc. Thesis, University of Tikrit, Tikrit, Iraq, 1999.

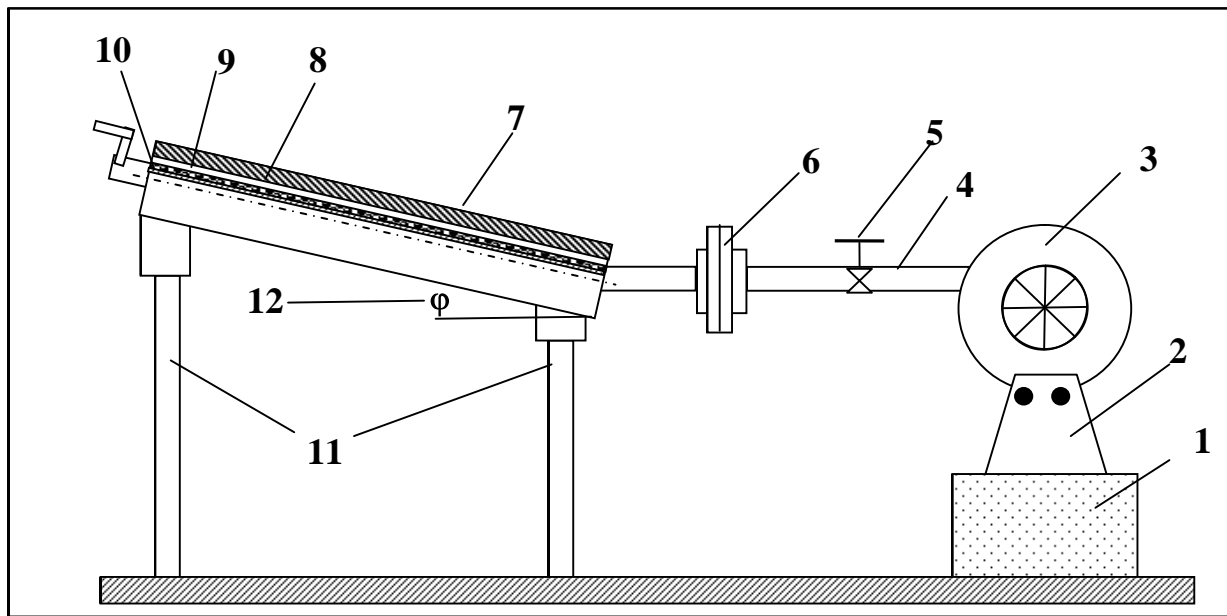
12- Renken K. J. and Poulikakos D., “Experiment and Analysis of Forced Convection Heat Transport in a Packed Bed of Spheres”, Int. J. H.T. vol., 31, No. 7, pp. 1399-1408, 1987.

13- Hamdi E.A., “Effect of delta-winglet vortex generators on a forced convection heat transfer in an asymmetrically heated triangular duct ”, M.Sc.Thesis, University of AL-Anbar, AL-Anbar, Iraq, 2005.



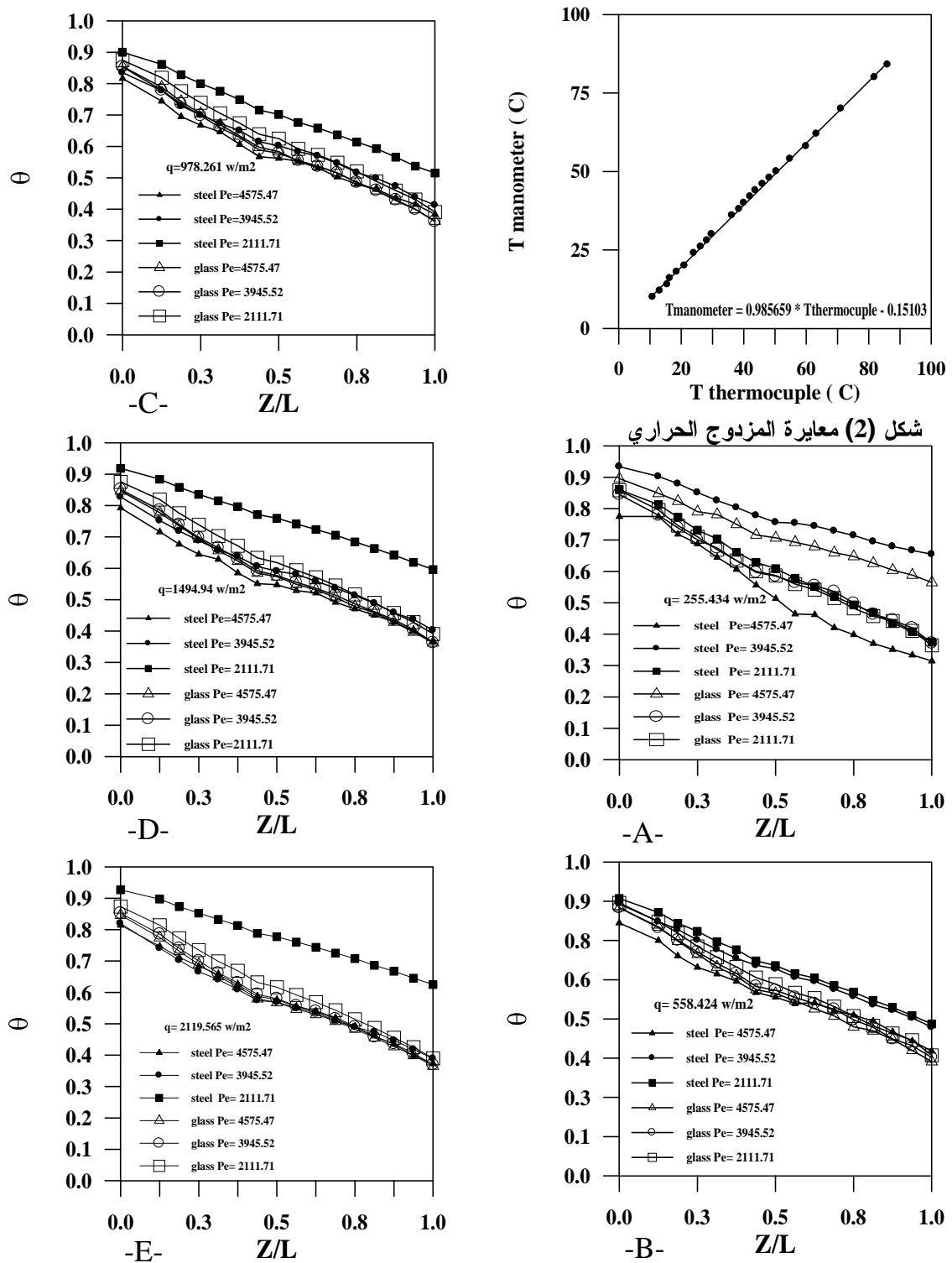
شكل(1 - A) صورة فوتوغرافية توضح الاجهزة المستخدمة في البحث

- (1) دافعة هواء (2) صمام التحكم في السرعة (3) مقطع الاختبار (4) لوحة قياس درجة حرارة سطح الانبوب
 (5) منظم فولتية



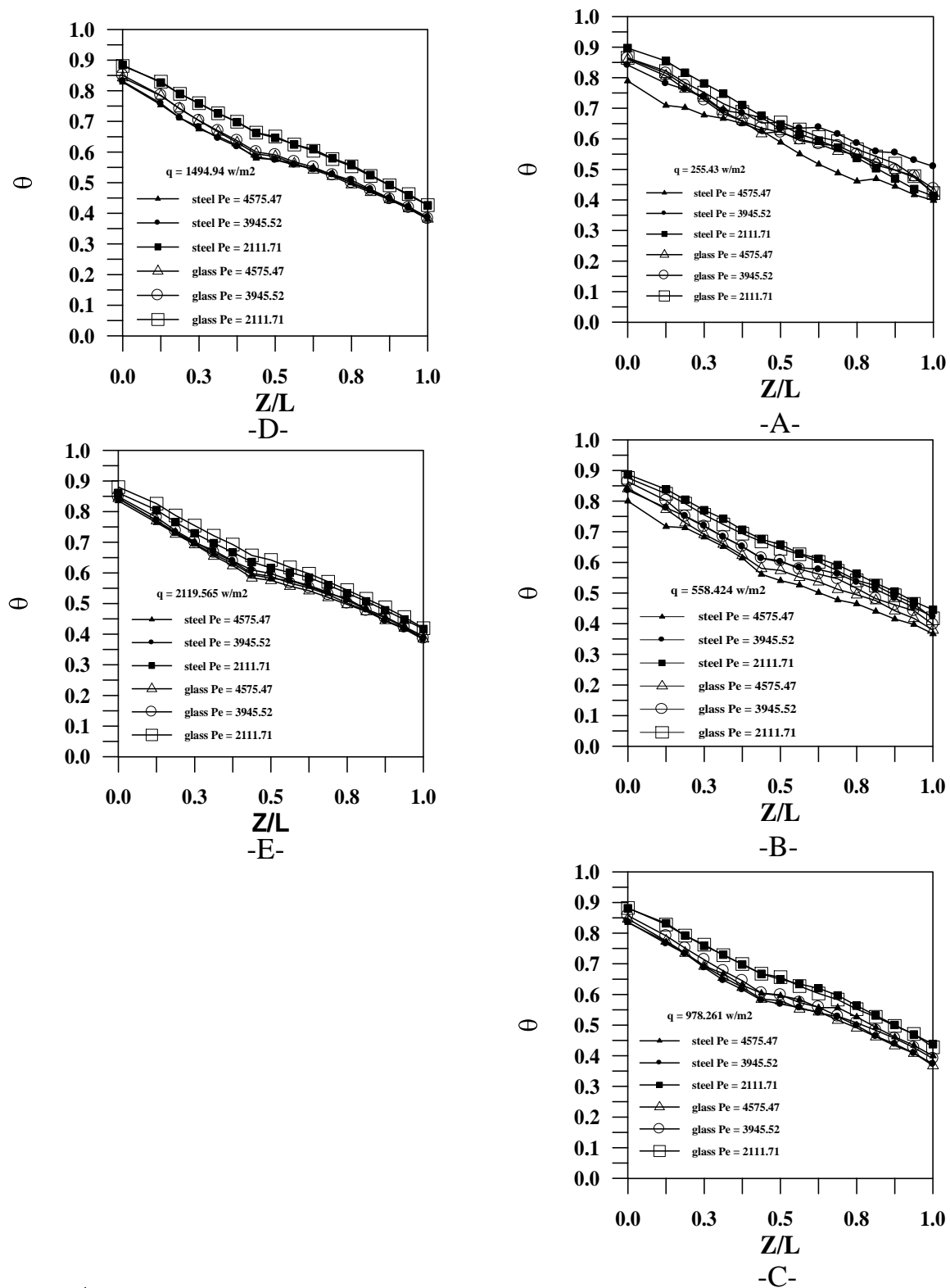
شكل(1 - B) رسم تخطيطي للجهاز التجاريي بضممه مقطع الاختبار نصف مقطوع.

- (1) قاعدة كونكريتية (2) قاعدة المنفاخ (3) منفاخ (Blower) (4) صمام توصيل (5) صمام التحكم في السرعة
 (6) شفة حديدية (flange) (7) صوف زجاجي (8) قطعة من قماش الاسبستوس (9) مقاومة حرارية(10) أنبوب نحاس

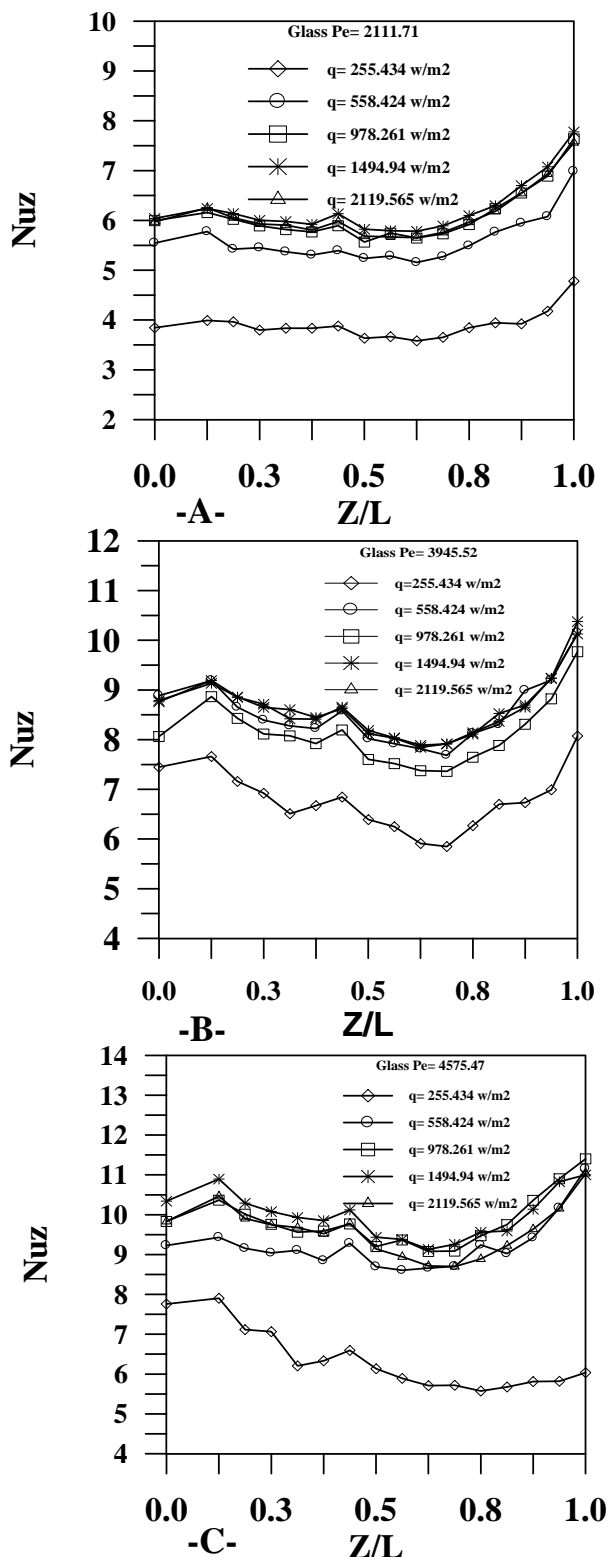


شكل (2) معايرة المزدوج الحراري

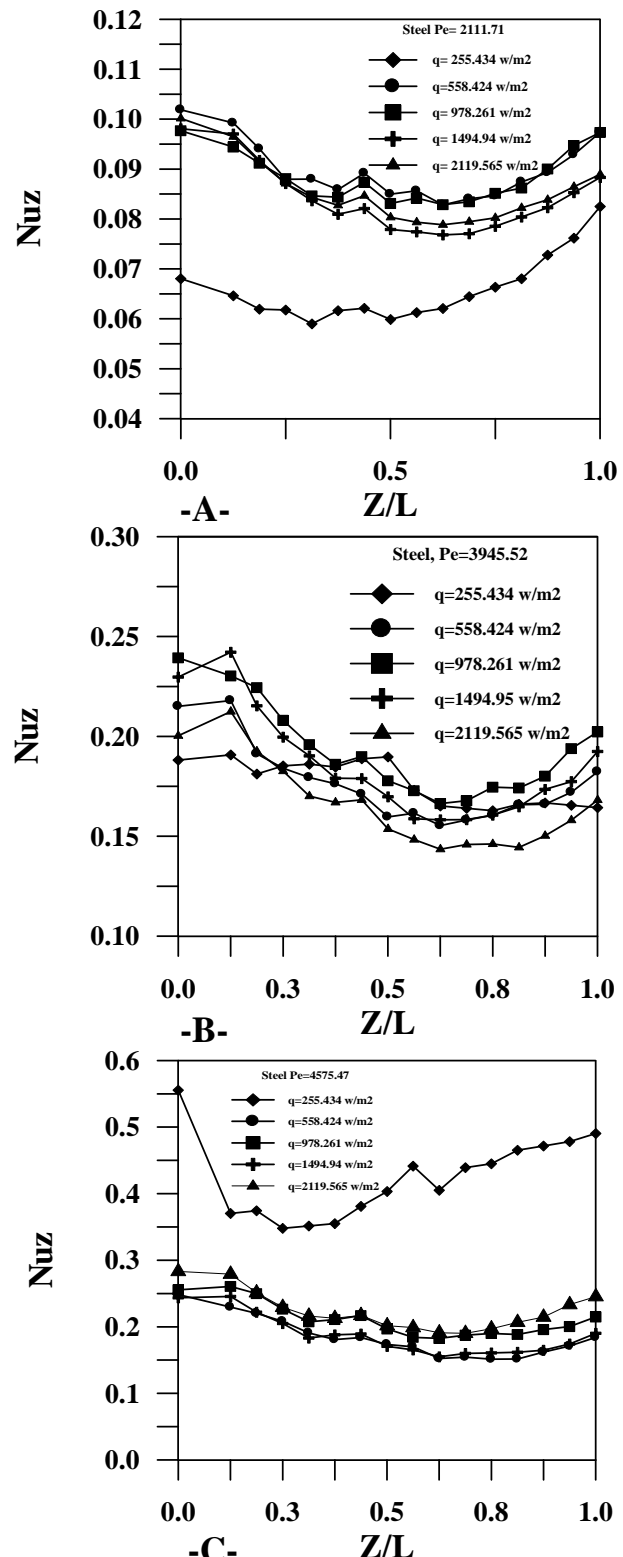
شكل (3) توزيع درجات الحرارة الابعدى مع طول القناة الابعدى للكربات الزجاجية
والفولاذية عند الزاوية $(A,B,C,D \& E) (\varphi = 0^\circ)$



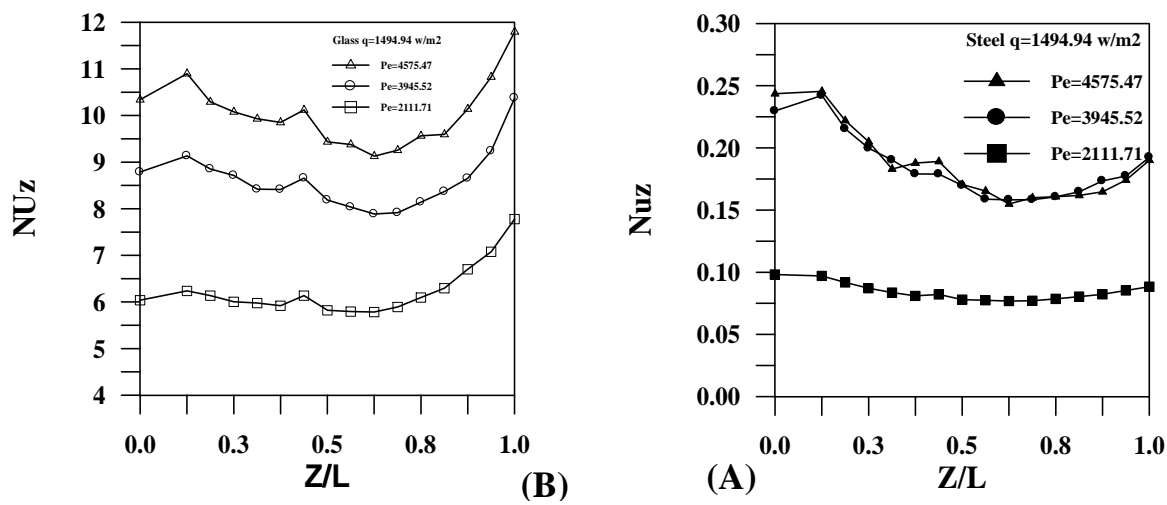
شكل (4) توزيع درجات الحرارة الابعدية مع طول القناة الابعدية للكريات الزجاجية والفولاذية عند الزاوية $(\varphi = 60^\circ)$



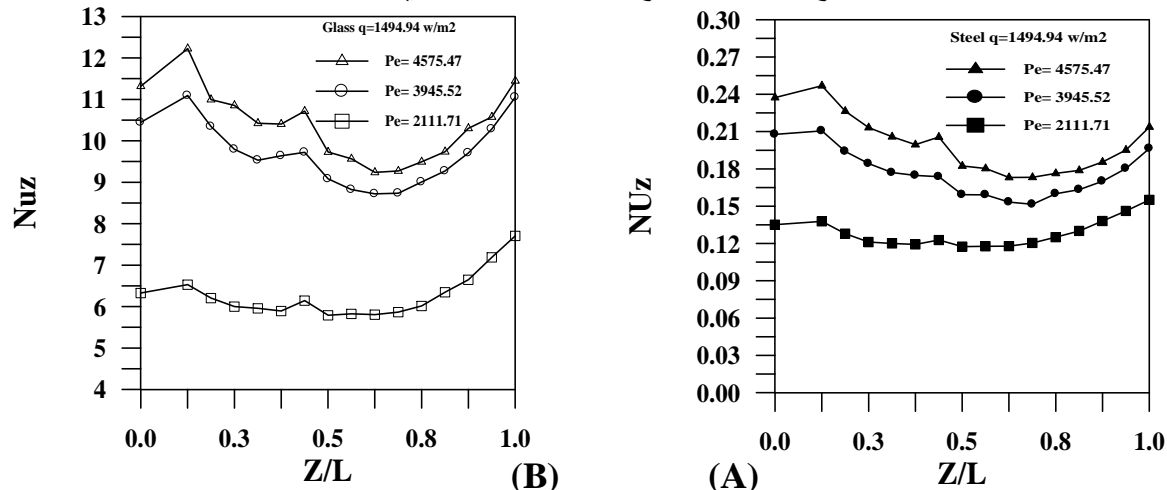
شكل (6) توزيع عدد نسلت الموقعي مع طول القناة الابعدى للكريات الزجاجية عند الزاوية $\phi = 0^\circ$ وبتغير الفيض الحراري.



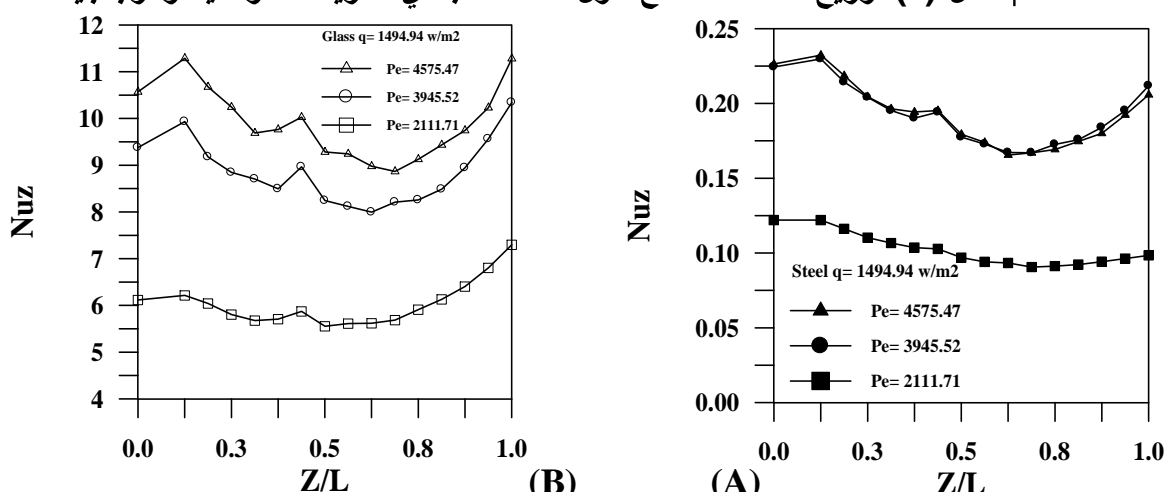
شكل (5) توزيع عدد نسلت الموقعي مع طول القناة الابعدى للكريات الفولاذية عند الزاوية $\phi = 0^\circ$ وبتغير الفيض الحراري.



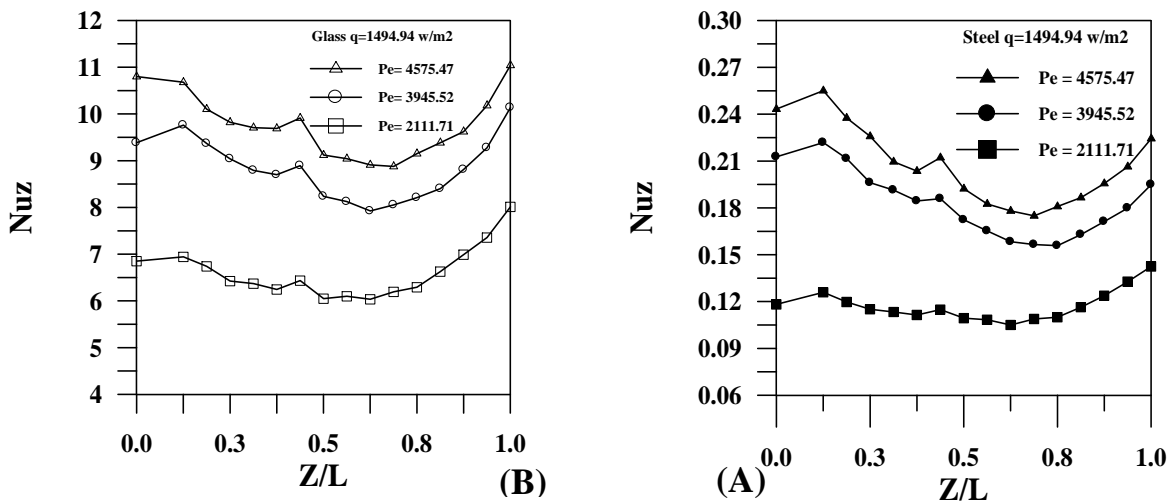
شكل (7) توزيع عدد نسلت مع طول القناة الابعدى للكريات الفولاذية والزجاجية $\phi = 0^\circ$



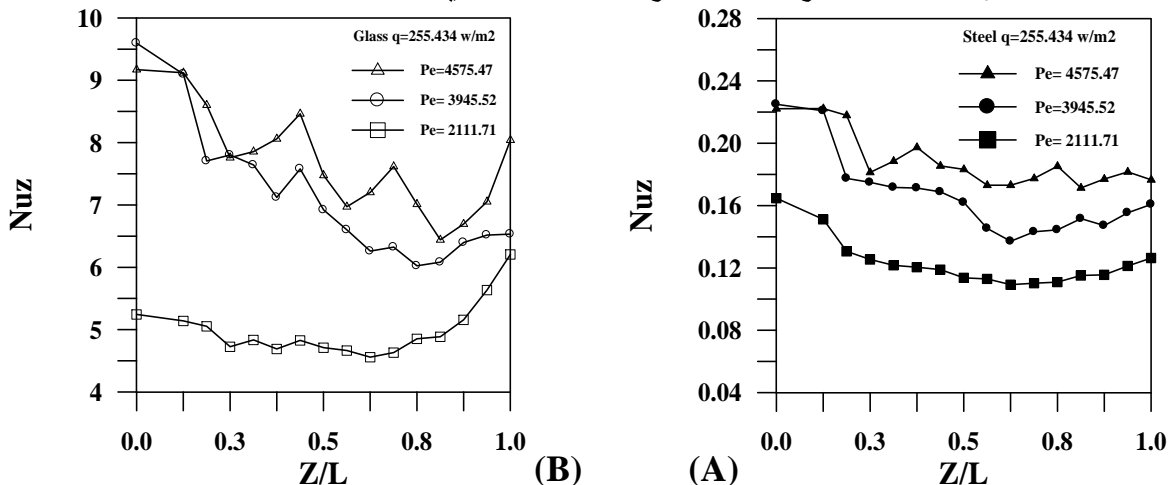
شكل (8) توزيع عدد نسلت مع طول القناة الابعدى للكريات الفولاذية والزجاجية $\phi = 30^\circ$



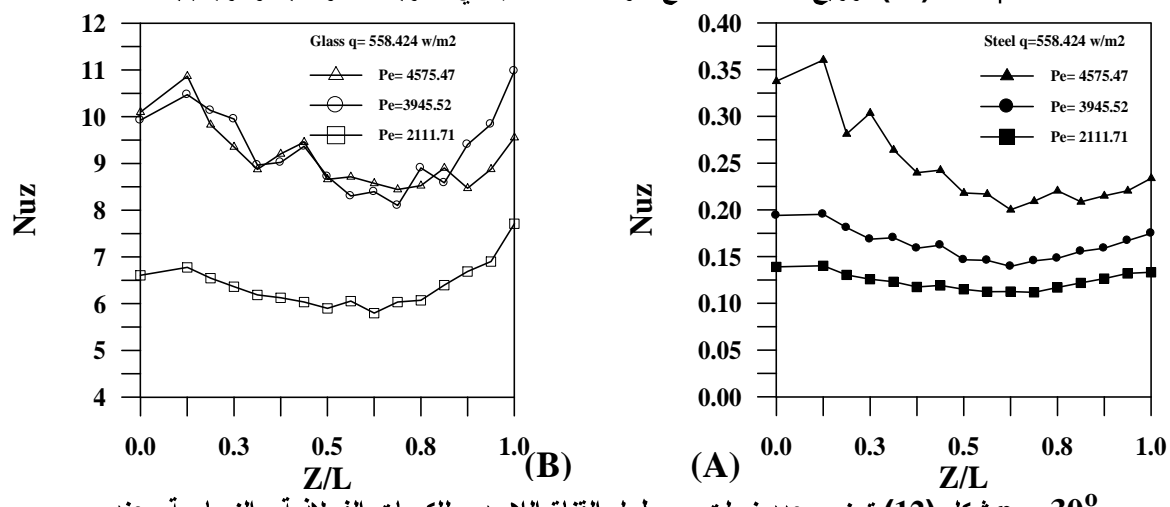
شكل (9) توزيع عدد نسلت مع طول القناة الابعدى للكريات الفولاذية والزجاجية $\phi = 45^\circ$



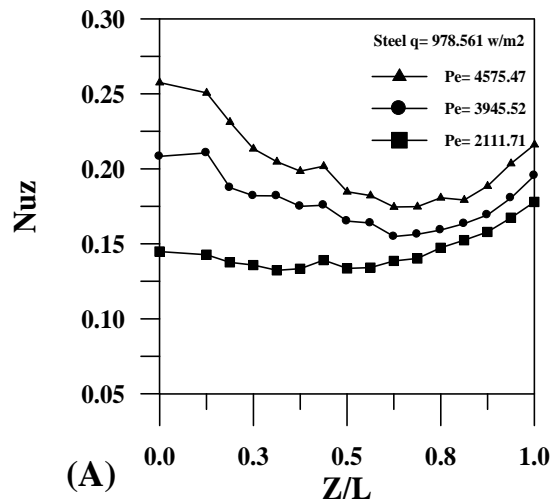
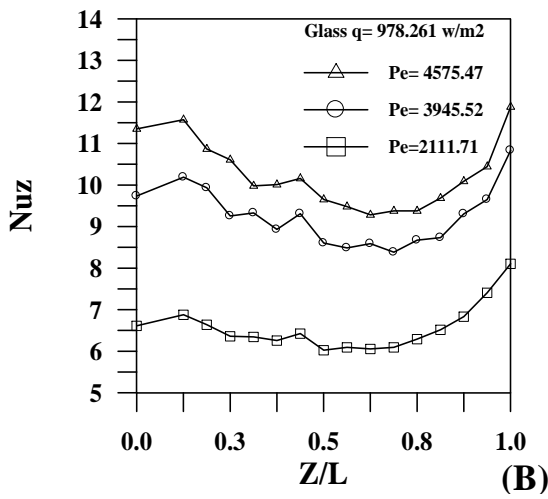
شكل (10) توزيع عدد نسلت مع طول القناة الابعدى للكريات الفولاذية والزجاجية عند $\varphi = 60^\circ$



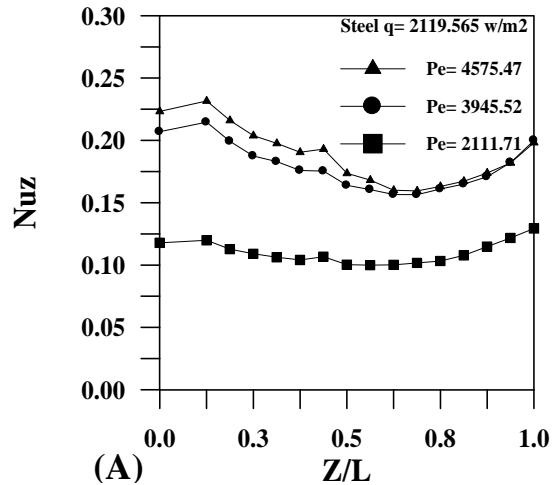
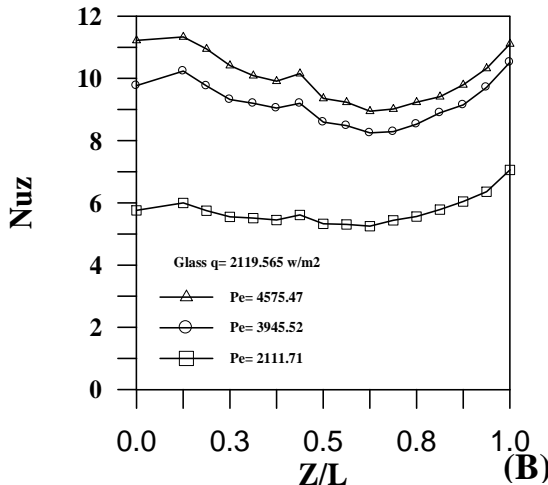
شكل (12) توزيع عدد نسلت مع طول القناة الابعدى للكريات الفولاذية والزجاجية عند $\varphi = 30^\circ$



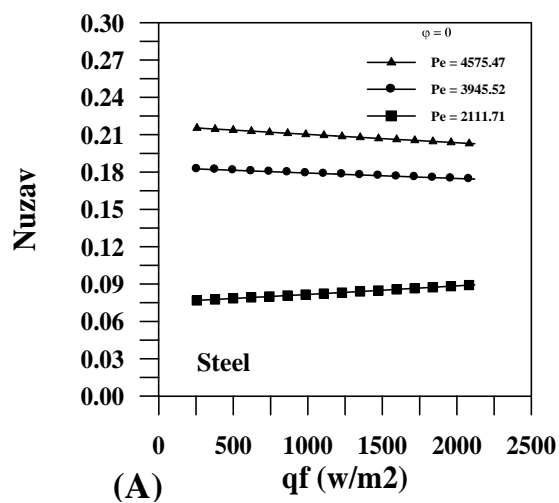
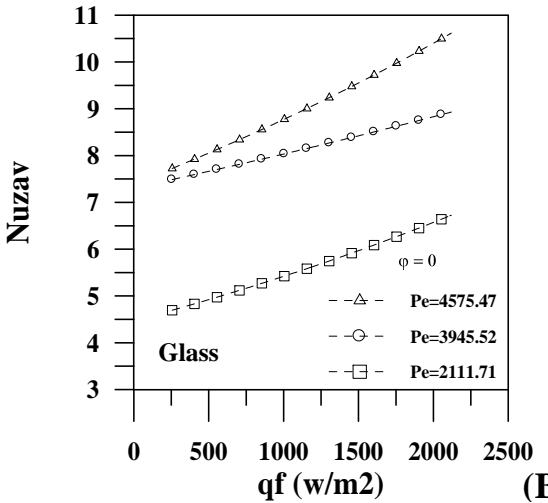
شكل (12) توزيع عدد نسلت مع طول القناة الابعدى للكريات الفولاذية والزجاجية عند $\varphi = 30^\circ$



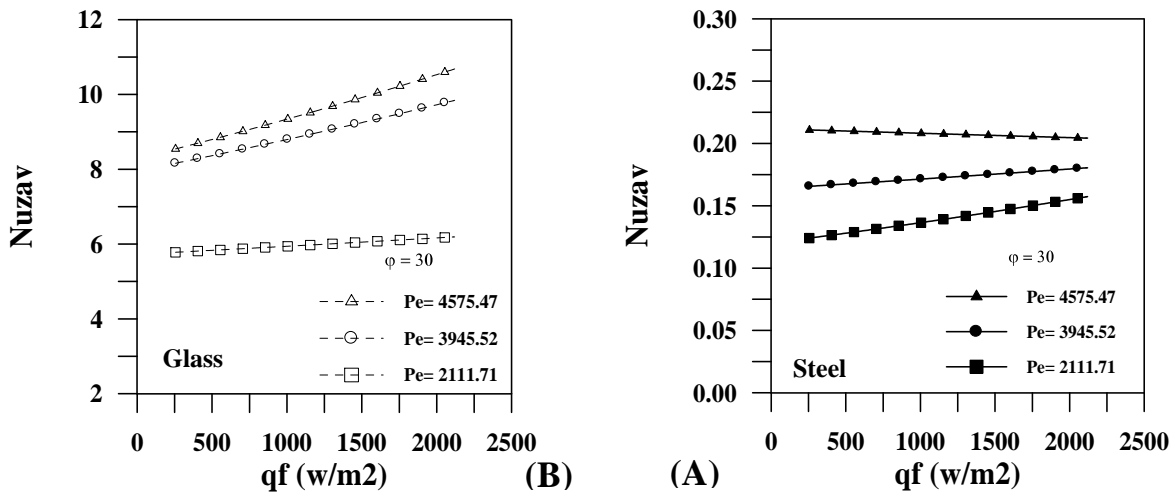
شكل (13) توزيع عدد نسلت مع طول القناة الابعدى للكريات الفولاذية والزجاجية عند $\phi = 30^\circ$



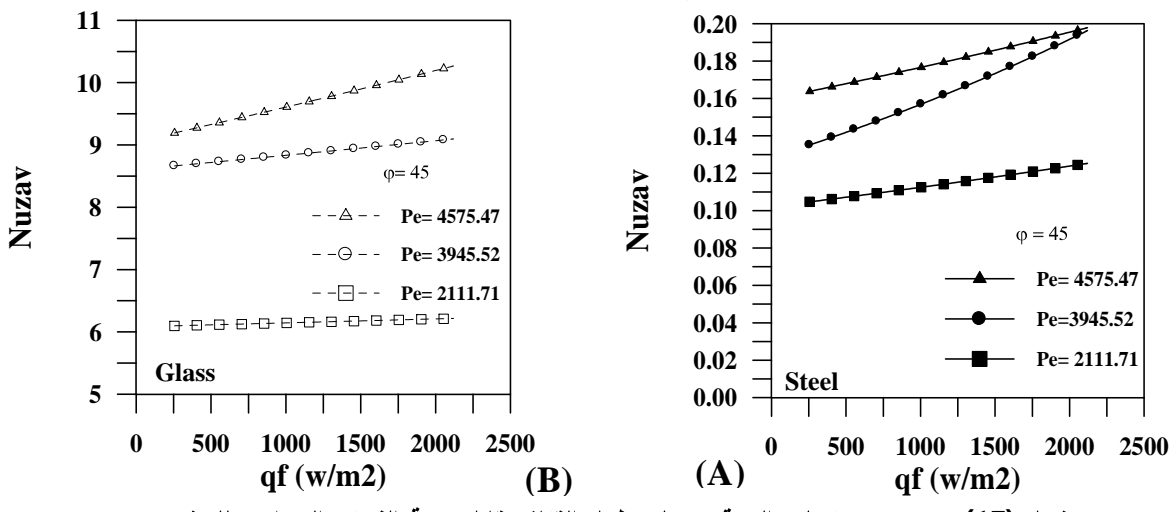
شكل (14) توزيع عدد نسلت مع طول القناة الابعدى للكريات الفولاذية والزجاجية عند $\phi = 30^\circ$



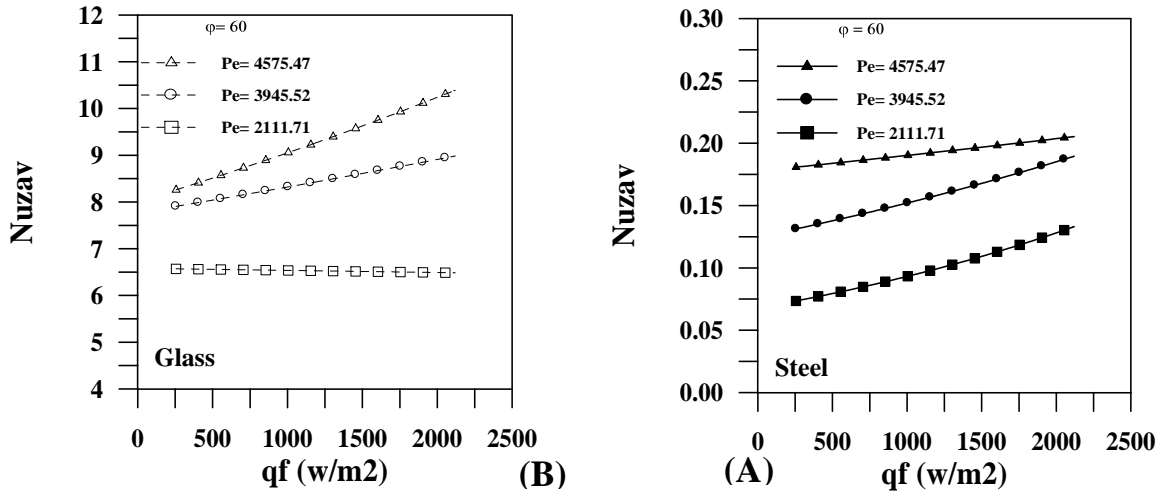
شكل (15) توزيع عدد نسلت الموقعي على طول القناة مقابل كمية الفيض الحراري للحشوتين.



شكل (16) توزيع عدد نسلت الموقعي على طول القناة مقابل كمية الفيض الحراري للحشوتين.



شكل (17) توزيع عدد نسلت الموقعي على طول القناة مقابل كمية الفيض الحراري للحشوتين.



شكل (18) توزيع عدد نسلت الموقعي على طول القناة مقابل كمية الفيض الحراري للحشوتين.

**AN EXPERIMENTAL STUDY FOR HEAT TRANSFER
ENHANCEMENT BY LAMINAR FORCED CONVECTION FROM
HORIZONTAL AND INCLINED TUBE HEATED WITH CONSTANT
HEAT FLUX, USING TWO TYPES OF POROUS MEDIA**

Thamir K. Salim
Assistant Lecturer
Mechanical Engineering Department - University of Tikrit

ABSTRACT

An experimental forced laminar study was presented in this research for an air flowing through a circular channel for different angles ($0^\circ, 30^\circ, 45^\circ, 60^\circ$), the channel was heated at constant heat flux , the channel also was packed with steel and glass spheres respectively . The tests were done for three values of Peclets number (2111.71,3945.42,4575.47) with changing the heat flux for each case and five times for each number.

The results showed that the dimensionless temperature distribution (θ) will decrease with increasing the dimensionless channel length for all cases with changing Peclet number, heat flux and inclination angles, and its lowest value will be for glass spheres at highest flux, while at lower flux for ($\phi = 0^\circ$), and the decreasing in dimensionless temperature was closed for both types of packed at other inclination angles.

The study declared that the local Nusselt number decreases with increasing the dimensionless length of the channel for both packeds and for different applied heat flux, also through this study it was declared that the average Nusselt increases as Peclet number increases for both packed. Its value for the glass spheres is greater than the steel spheres with percentage (98.3%) at small Peclet, and percentage (97.2%) at large Peclet number for the horizontal tube, and (98.3%) at small Peclet number and (97.8%) at large Peclet number at ($\phi = 60^\circ$).

Through this study its was found that average Nusselt number increases along the channel as the heat flux increases, because the bulk temperature will increase as the flow proceeds toward the end of the channel , so the heat transfer coefficient will increase. It was declared from this study that in the case of the steel packed the heat transfer will occur

mainly by conduction, while in the case of glass packed the heat transfer will occur mainly by laminar forced convection, where the lowest Nusselt number ($Nu=3.8$) was found when the pipe is horizontal and lowest heat flux and lowest Peclet number.

KEY WORDS: Forced Convection, circular Channel horizontal& inclined, Air, Glass & Steel Sphere

This document was created with Win2PDF available at <http://www.win2pdf.com>.
The unregistered version of Win2PDF is for evaluation or non-commercial use only.
This page will not be added after purchasing Win2PDF.